

6－7 東海・関東・伊豆地域における地下水等観測結果

(2008年5月～2008年10月) (38)

The Variation of the Groundwater Level, Discharge Rate, Tilt meter, Three-Component Strain, and Subsidence in the Tokai, Kanto District and Izu Peninsula, Central Japan. (from May 2008 to Oct. 2008) (36)

産業技術総合研究所
Geological Survey of Japan, AIST

2008年5月～10月の半年間の東海・関東・伊豆地域の地下水等の観測結果を報告する。本報告では、観測井配置図(第1図)の図中の枠で示す4地域および第2図に示す地域に分けて表示する。6ヶ月間のデータを3ヶ月毎に示すとともに2年間の観測データを参考として示す(第3～28図)。また、浜岡・掛川における沈下等の観測結果(第29、30図)についても示す。なお図中の印で、\$は保守を、*は雨量補正不十分を、@は解析による見かけ上のギャップを、#はバッテリー消耗を、Cはトンネル工事が原因と考えられる歪ステップを、?は原因不明をそれぞれ表す。

東海地域中部：榛原の水位上昇・低下は、静岡空港建設工事の盛土・土砂除去工事の影響による可能性が高い。草薙1の水位の増加は大雨により孔口から雨水が流入した可能性がある。

東海地域南部：御前崎の水位データに異常が認められるが、水位計の不具合の可能性が高い。

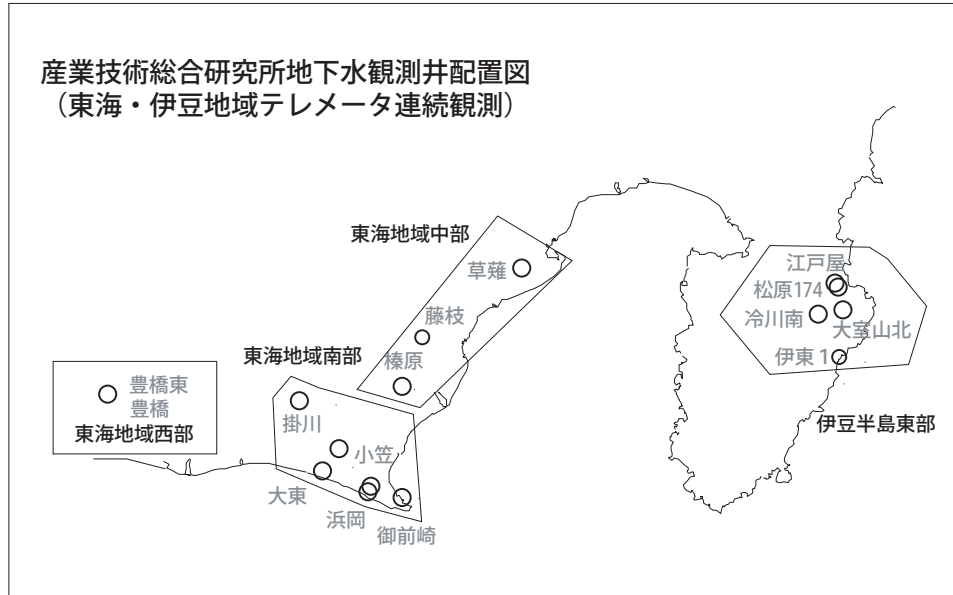
東海地域西部：特記事項はない。

伊豆半島東部地域：松原174号井は静岡県の観測による。伊東1は休日等に周囲の温泉使用量が増加すると自噴量が減少する。

これらのデータはWellWeb (<http://www.gsj.jp/wellweb>) にて公開している。

(板場智史・小泉尚嗣・高橋 誠・松本則夫・佐藤 努・大谷 竜・北川有一)

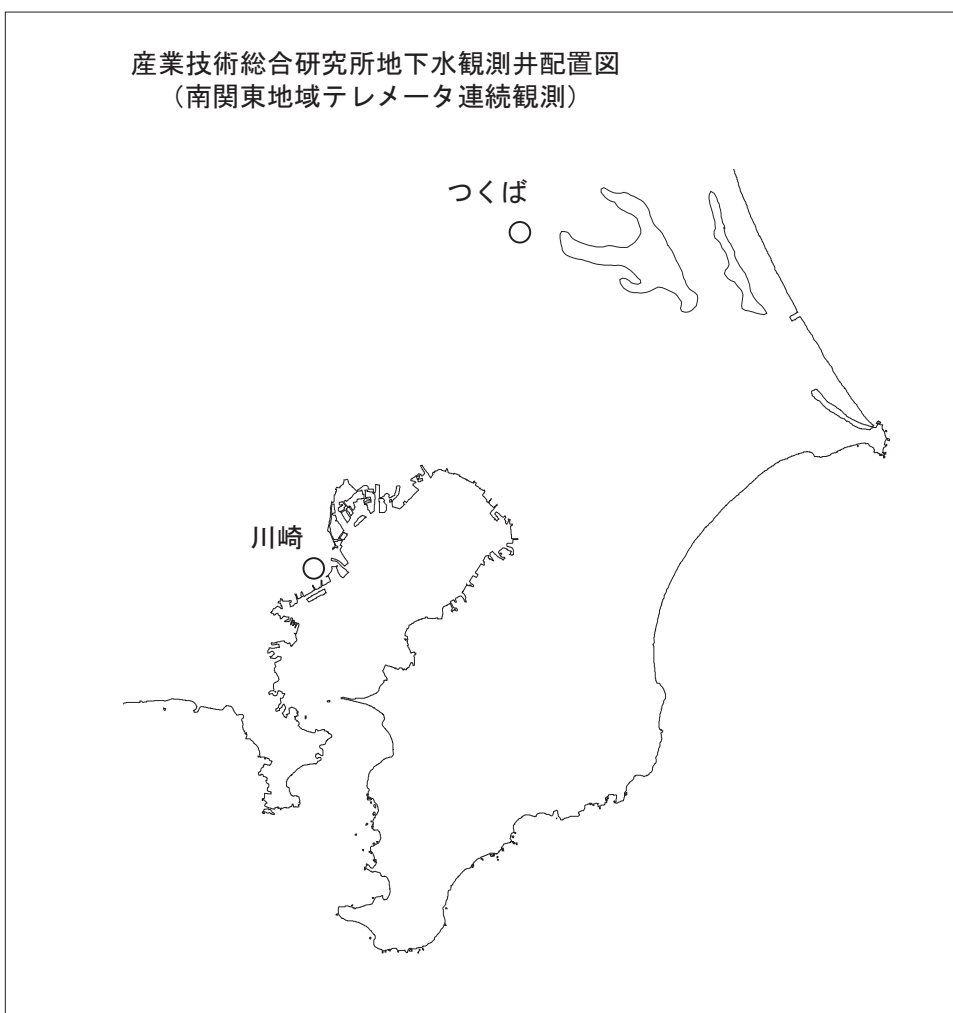
産業技術総合研究所地下水観測井配置図
(東海・伊豆地域テレメータ連続観測)



第1図 伊豆・東海地域の産業技術総合研究所地下水等観測井の配置図

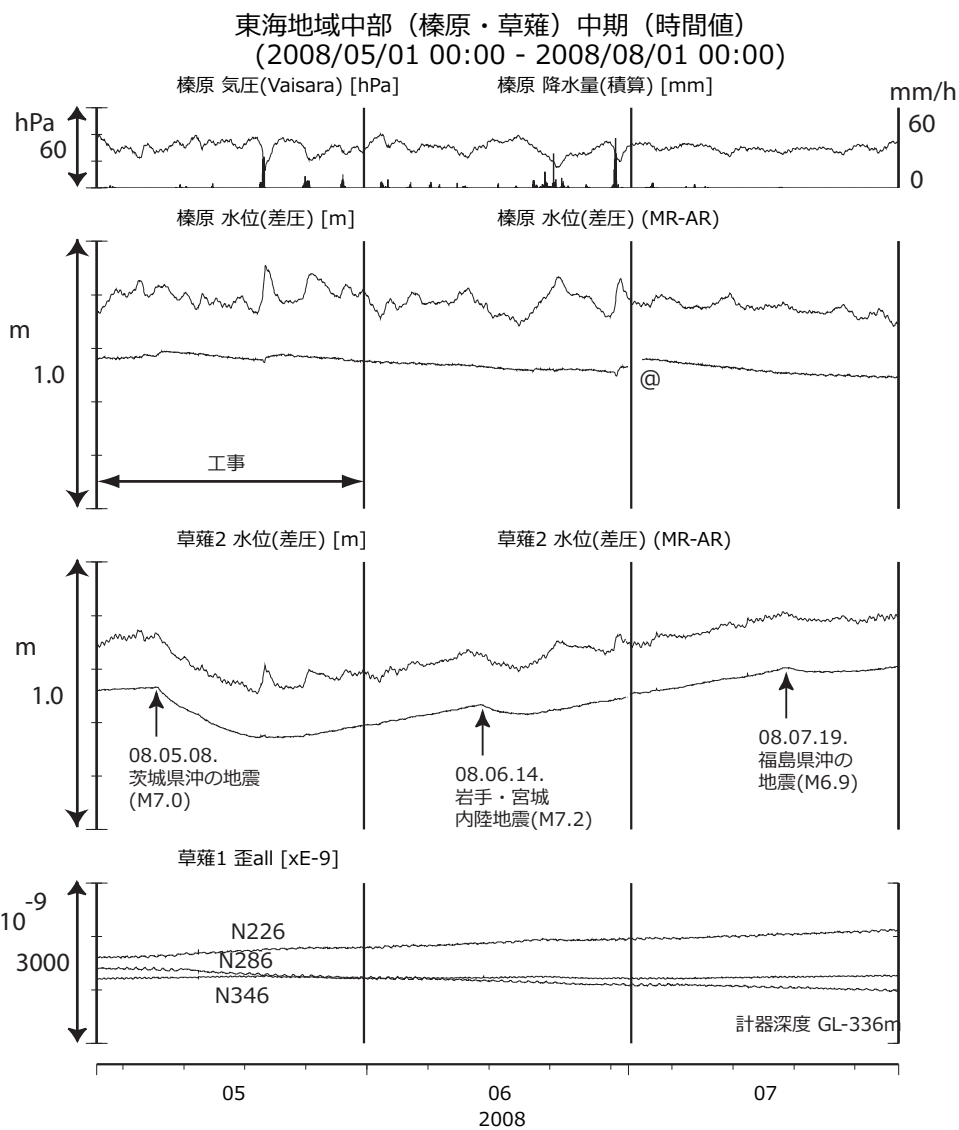
Fig.1 Location of the groundwater observation wells in and around the Tokai and Izu district.

産業技術総合研究所地下水観測井配置図
(南関東地域テレメータ連続観測)

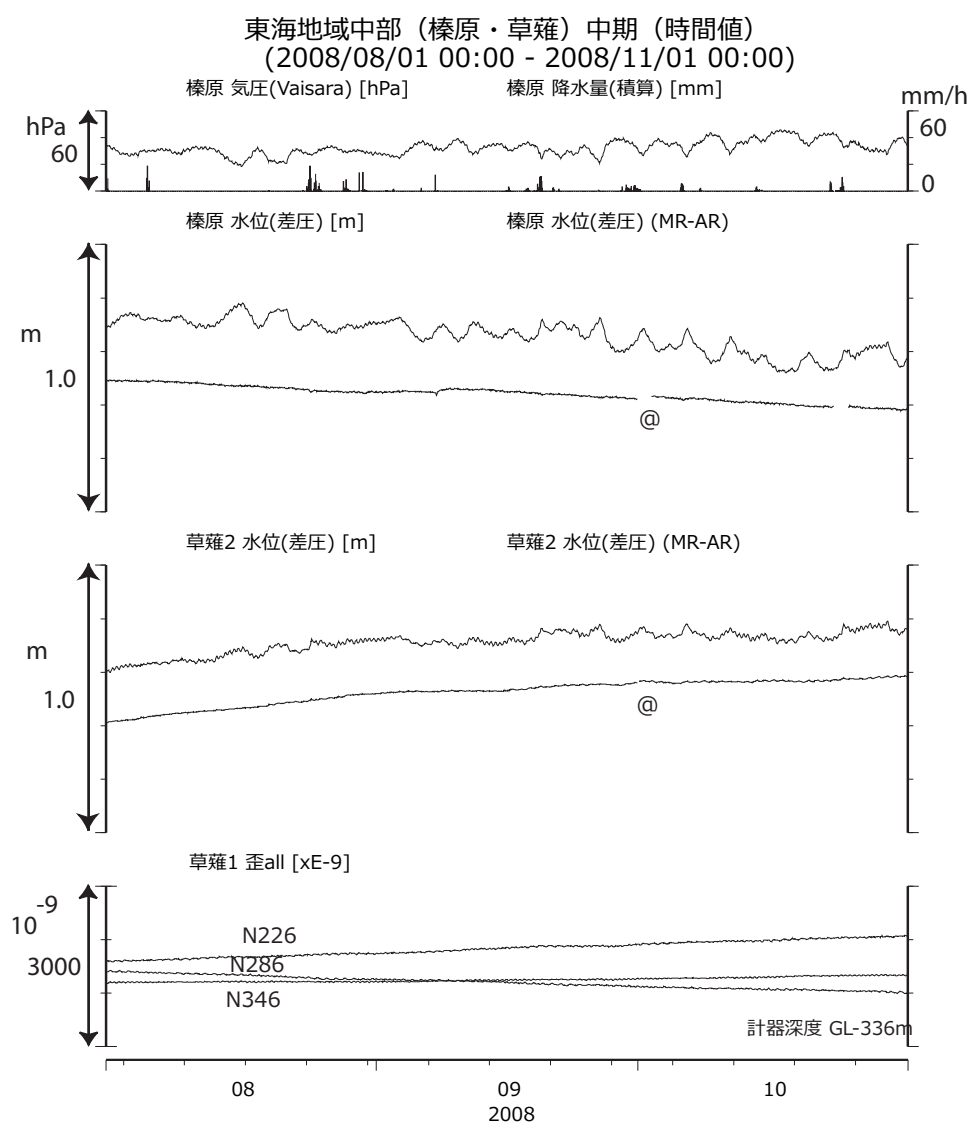


第2図 関東地域の産業技術総合研究所地下水等観測井の配置図

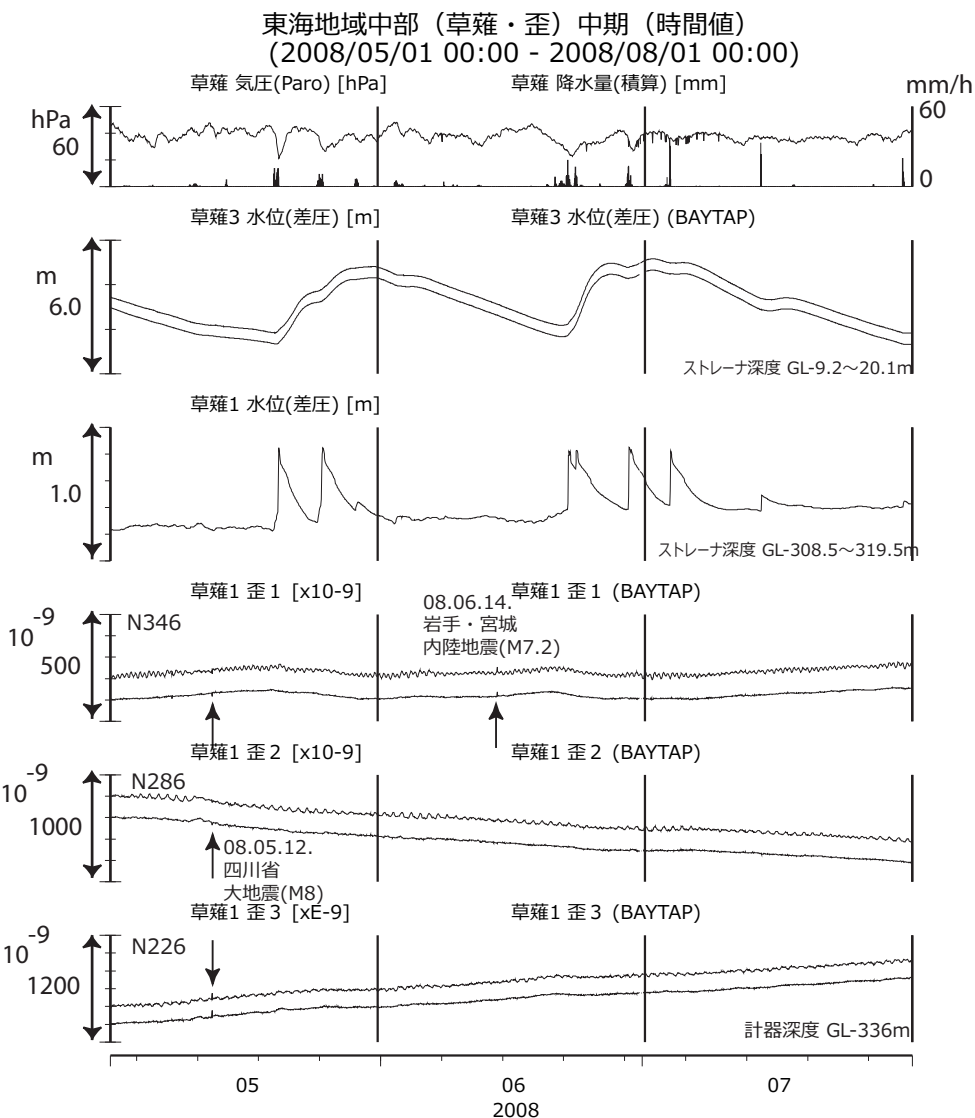
Fig.2 Location of the groundwater observation wells in the Kanto district.



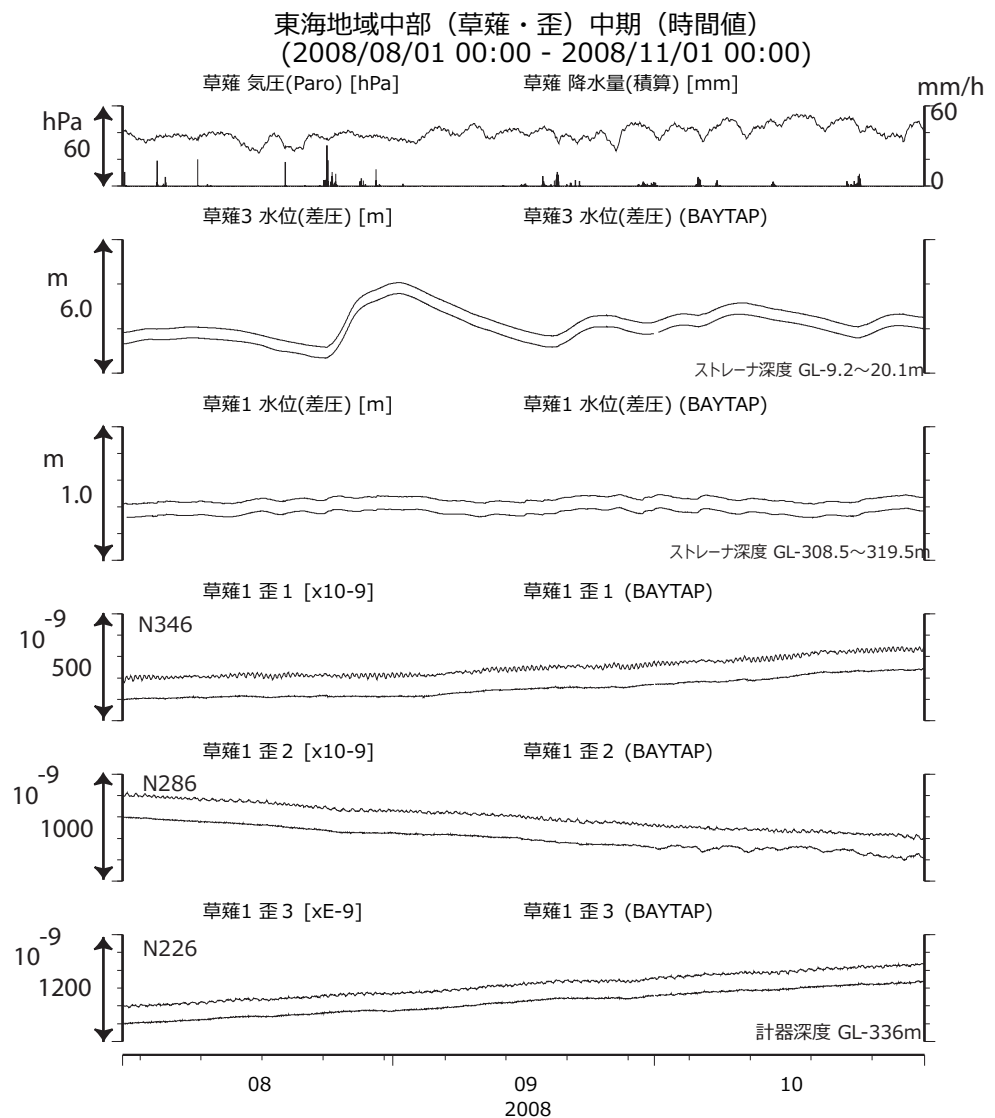
第3図 東海地域中部の地下水等の観測結果(2008年5月～2008年7月)
Fig.3 Observed groundwater levels and others in the central Tokai district from May 2008 to July 2008.



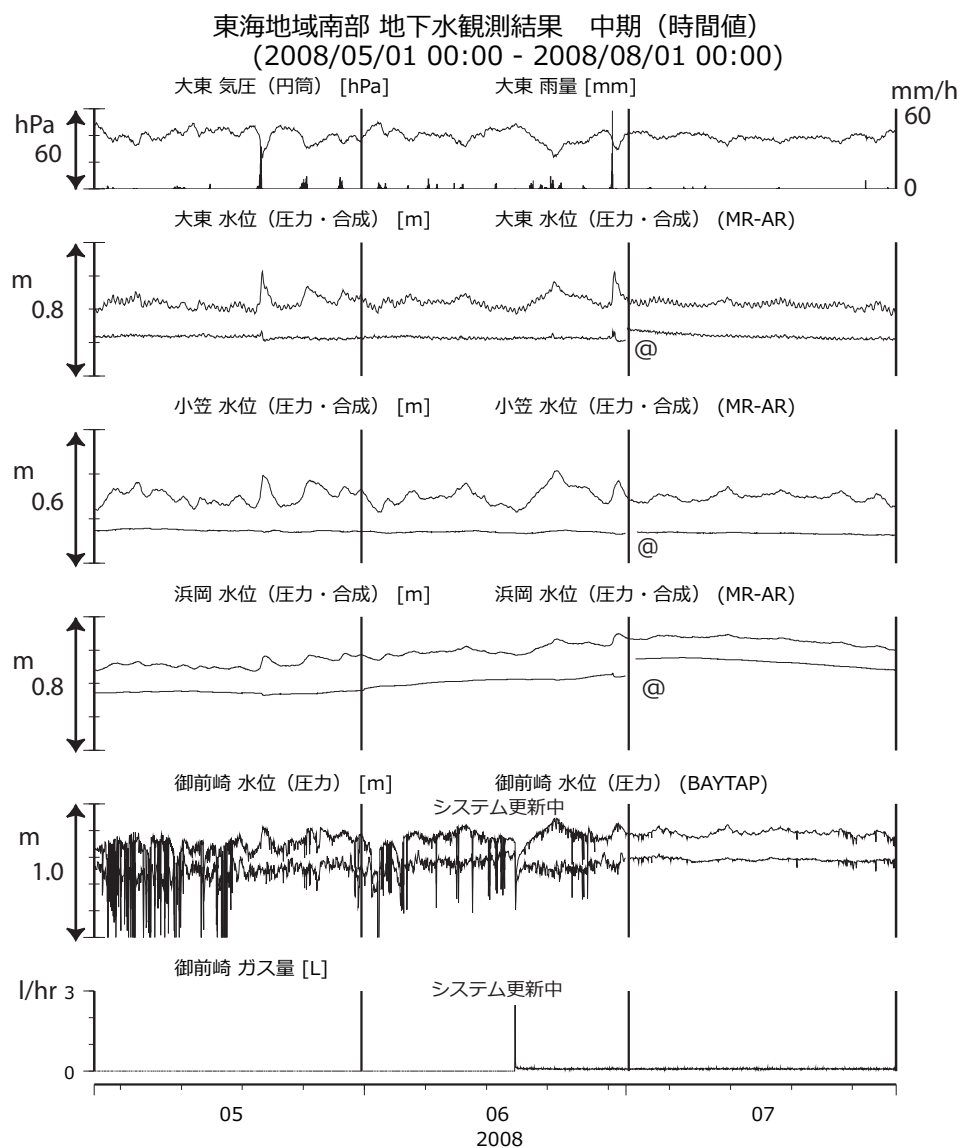
第4図 東海地域中部の地下水等の観測結果(2008年8月～2008年10月)
Fig.4 Observed groundwater levels and others in the central Tokai district from Aug. 2008 to Oct. 2008.



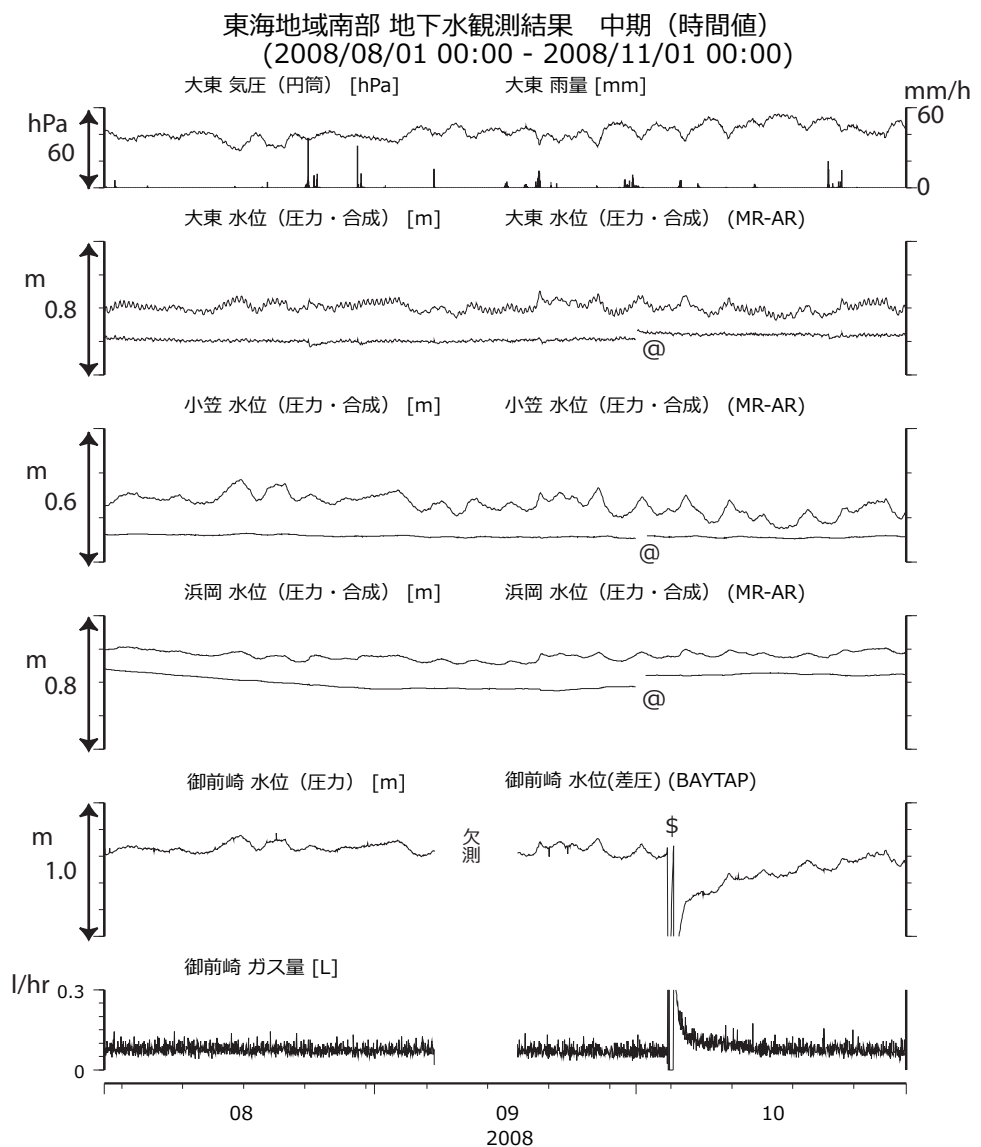
第5図 草薙観測井の地下水・歪の観測結果(2008年5月～2008年7月)
Fig.5 Observed groundwater levels and strain at the Kusanagi observation site from May 2008 to July 2008.



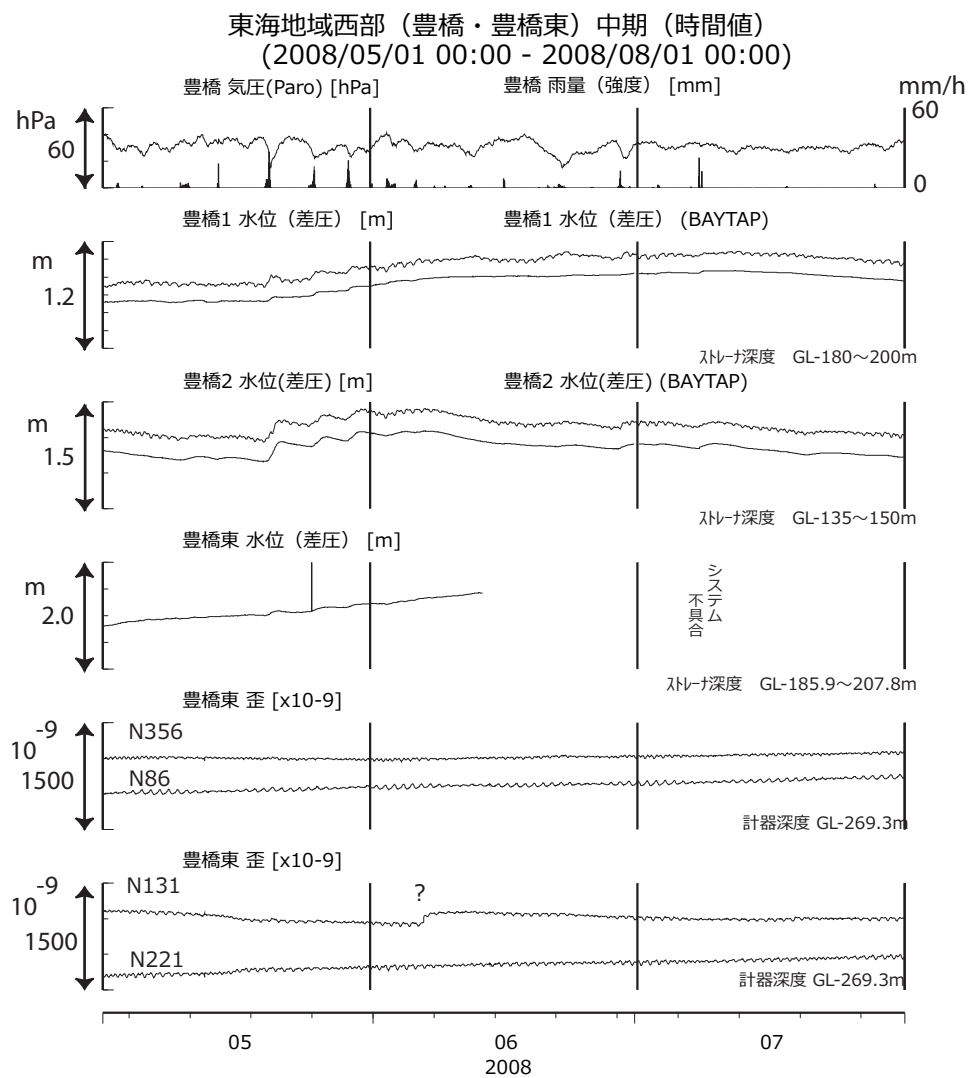
第6図 草薙観測井の地下水・歪の観測結果(2008年8月～2008年10月)
Fig.6 Observed groundwater levels and strain at the Kusanagi observation site from Aug. 2008 to Oct. 2008.



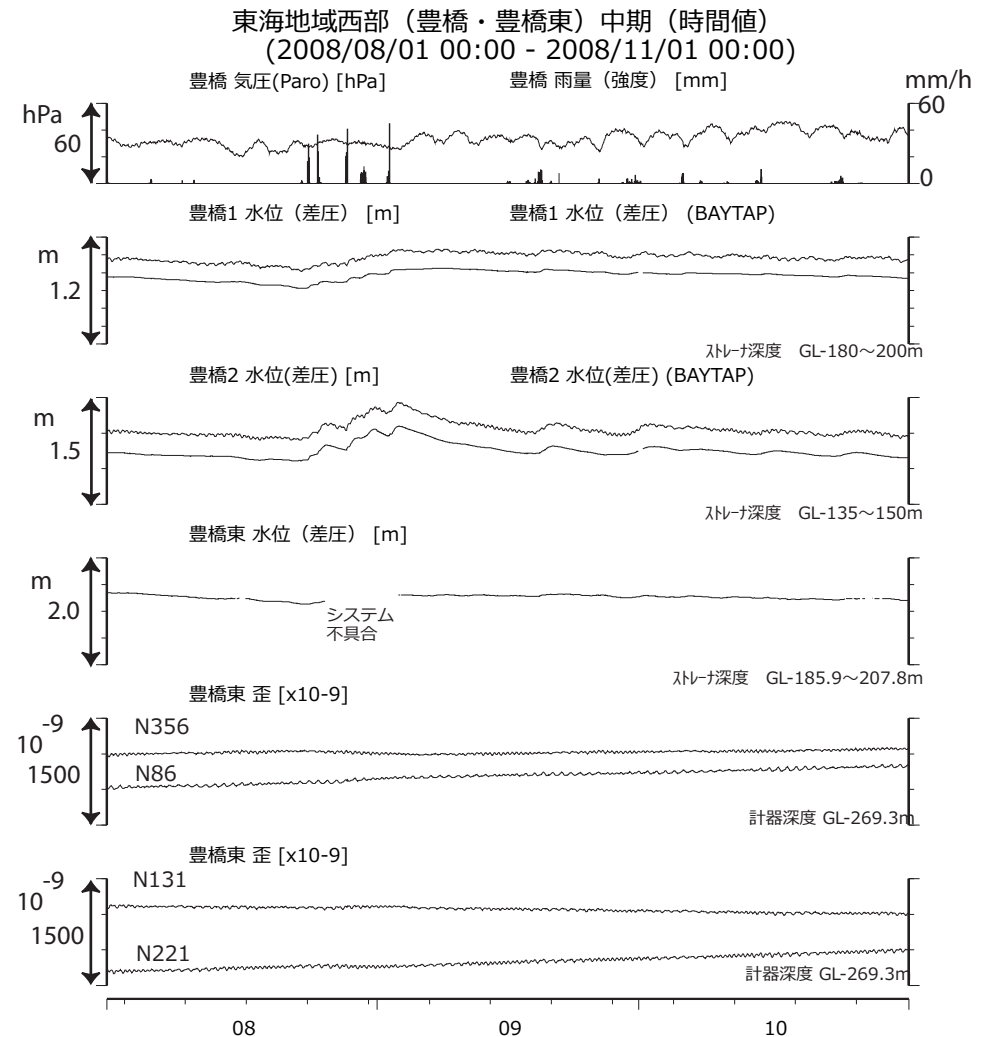
第7図 東海地域南部の地下水等の観測結果(2008年5月～2008年7月)
Fig.7 Observed groundwater levels and others in the southern Tokai district from May 2008 to July 2008.



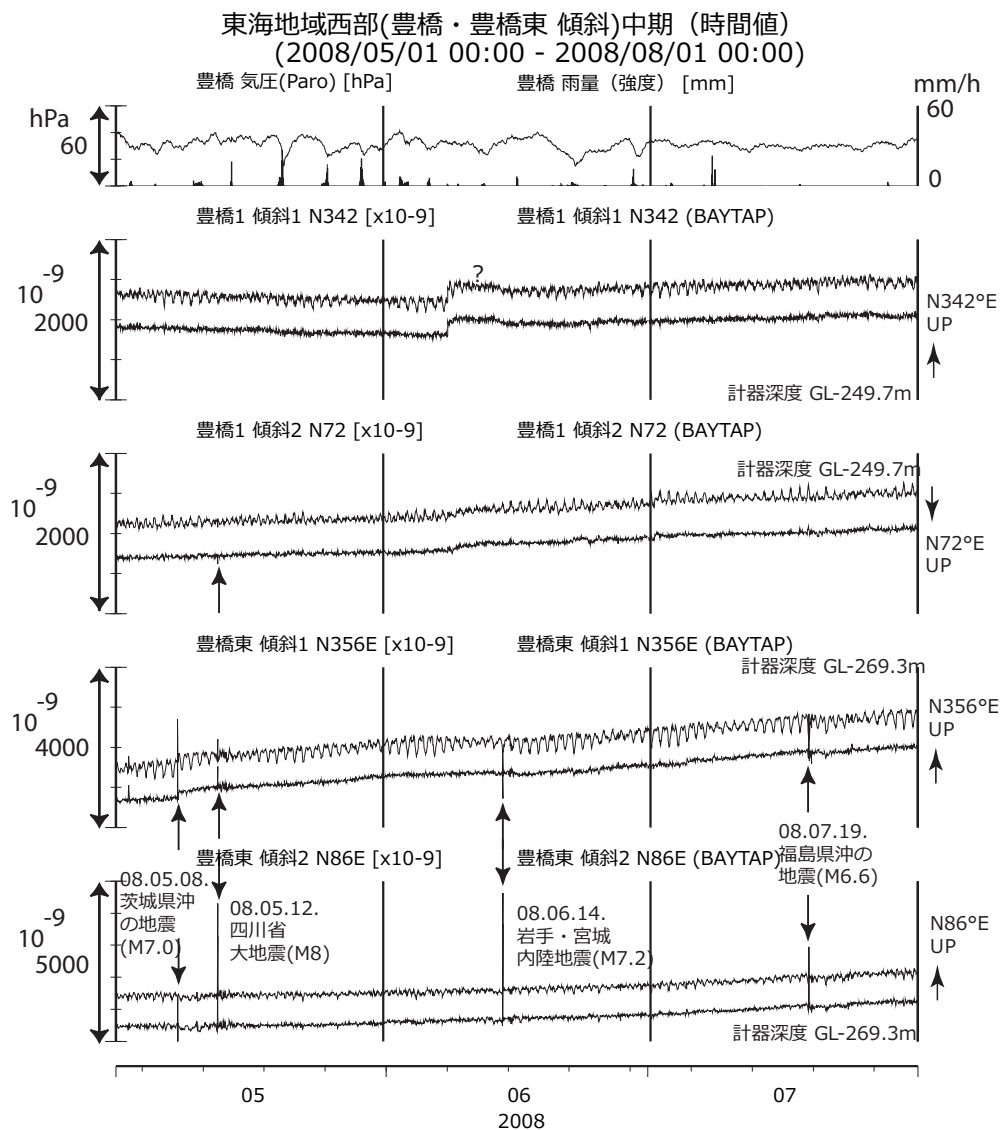
第8図 東海地域南部の地下水等の観測結果(2008年8月～2008年10月)
Fig.8 Observed groundwater levels and others in the southern Tokai district from Aug. 2008 to Oct. 2008.



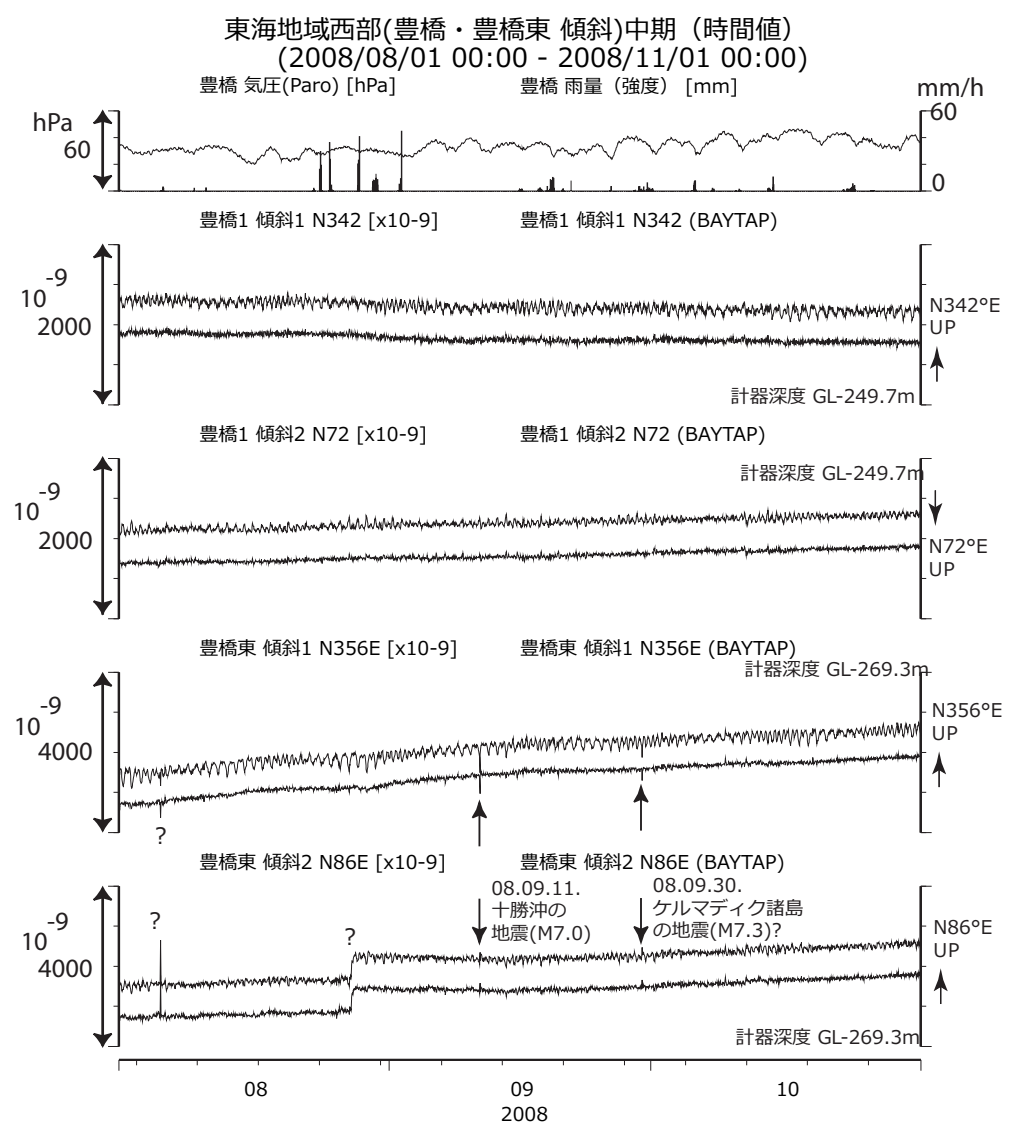
第9図 東海地域西部(豊橋・豊橋東)の地下水等の観測結果(2008年5月～2008年7月)
Fig.9 Observed groundwater levels and others at the Toyohashi and Toyohashi-higashi observation sites from May 2008 to July 2008.



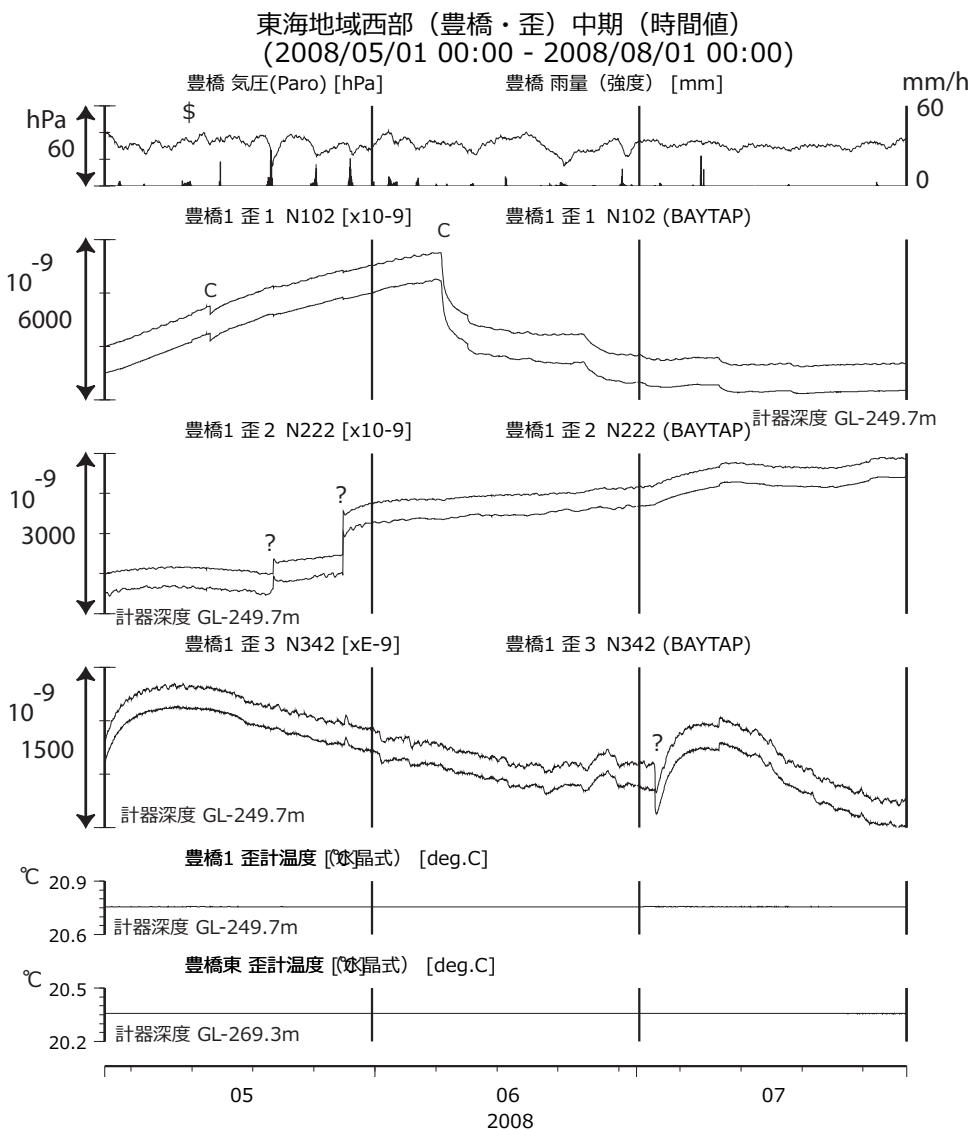
第10図 東海地域西部(豊橋・豊橋東)の地下水等の観測結果(2008年8月～2008年10月)
Fig.10 Observed groundwater levels and others at the Toyohashi and Toyohashi-higashi observation sites from Aug. 2008 to Oct. 2008.



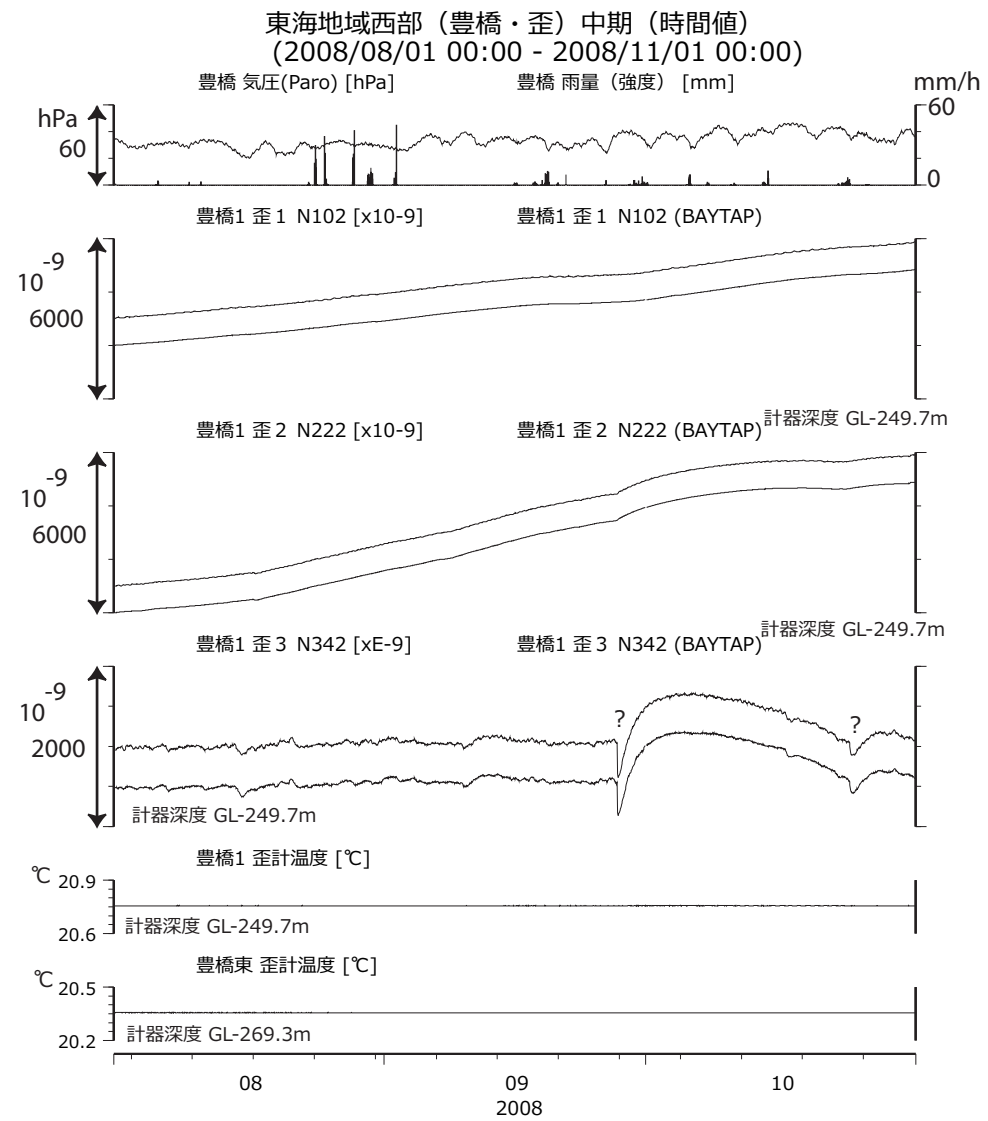
第11図 東海地域西部(豊橋・豊橋東)の傾斜の観測結果(2008年5月～2008年7月)
Fig.11 Observed tilts at the Toyohashi and Toyohashi-higashi observation sites from May 2008 to July 2008.



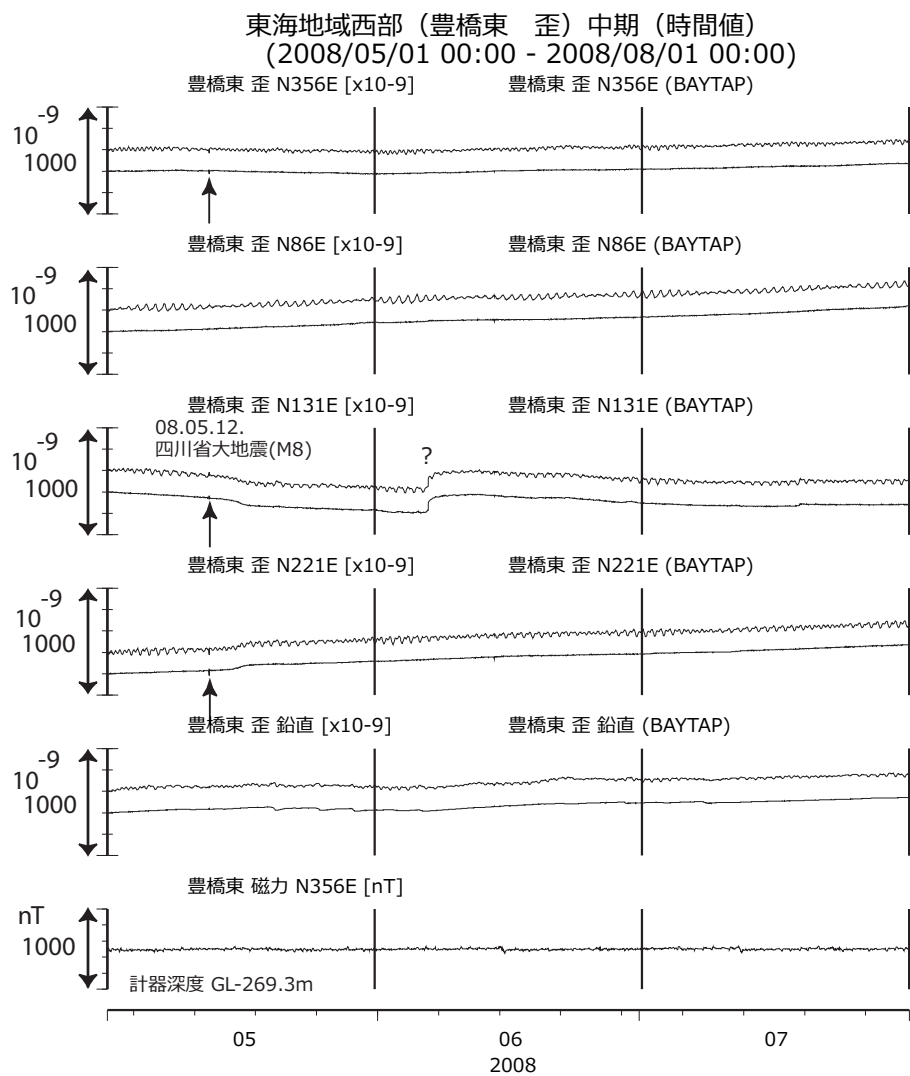
第12図 東海地域西部(豊橋・豊橋東)の傾斜の観測結果(2008年8月～2008年10月)
Fig.12 Observed tilts at the Toyohashi and Toyohashi-higashi observation sites from Aug. 2008 to Oct. 2008.



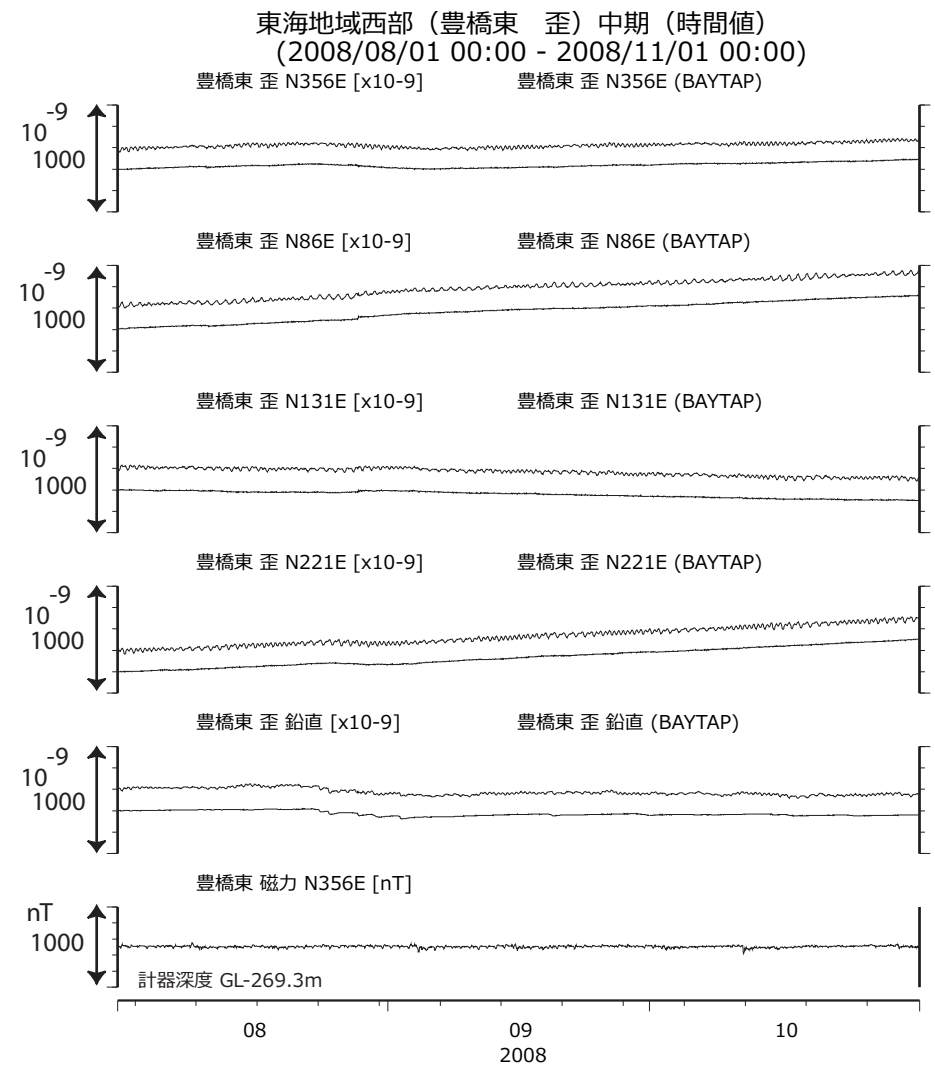
第13図 東海地域西部(豊橋)の歪等の観測結果(2008年5月～2008年7月)
Fig.13 Observed strain and others at the Toyohashi observation site from May 2008 to July 2008.



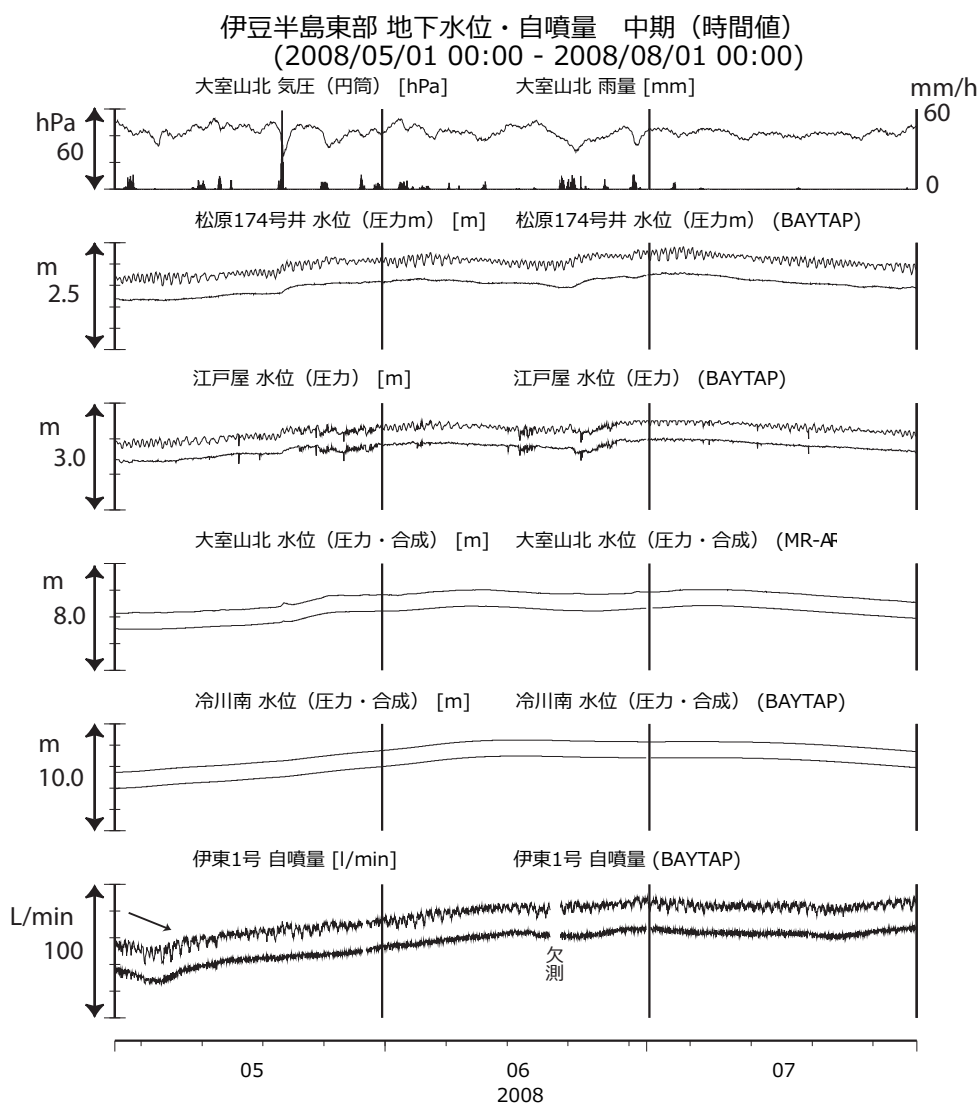
第14図 東海地域西部(豊橋)の歪等の観測結果(2008年8月～2008年10月)
Fig.14 Observed strain and others at the Toyohashi observation site from Aug. 2008 to Oct. 2008.



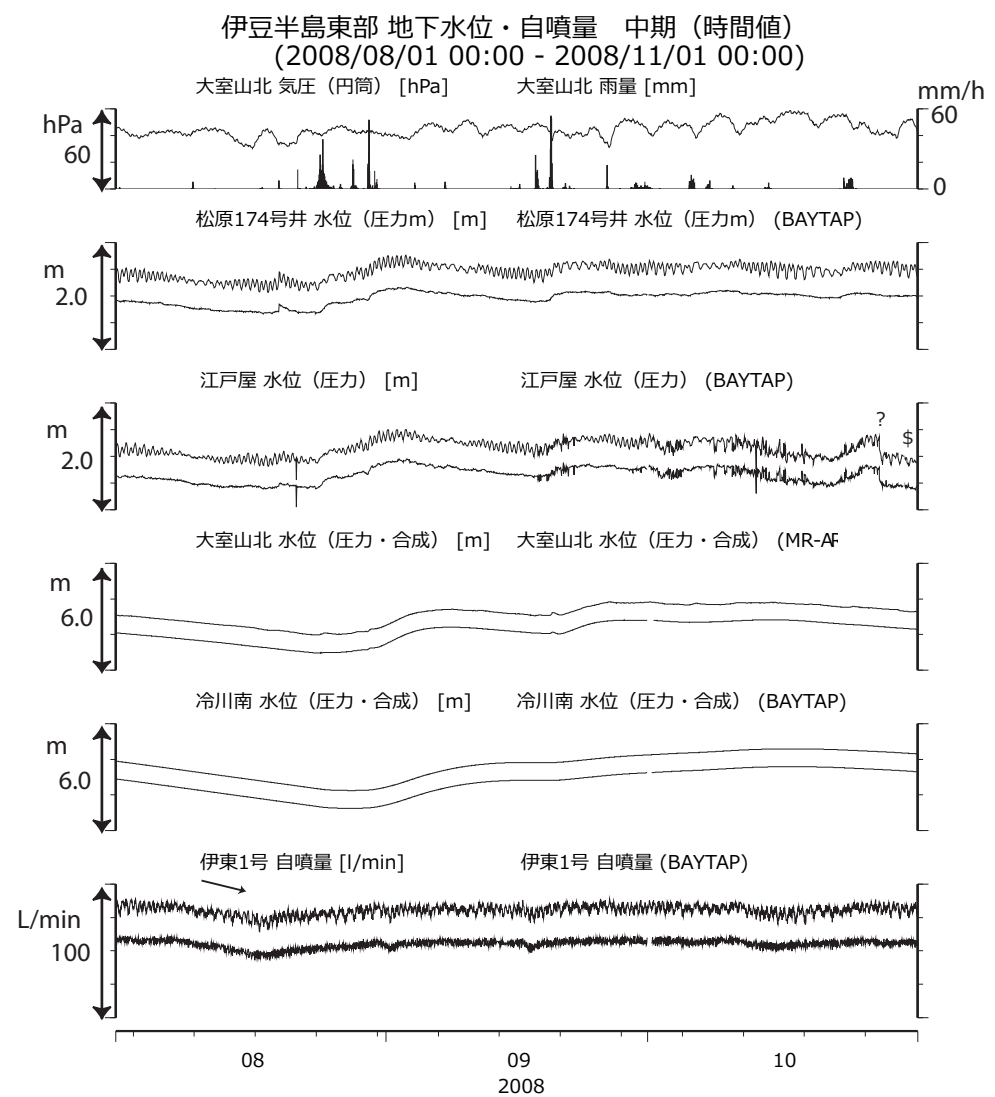
第 15 図 東海地域西部(豊橋東)の歪等の観測結果(2008 年 5 月～2008 年 7 月)
Fig.15 Observed strain and others at the Toyohashi-higashi observation site from May 2008 to July 2008.



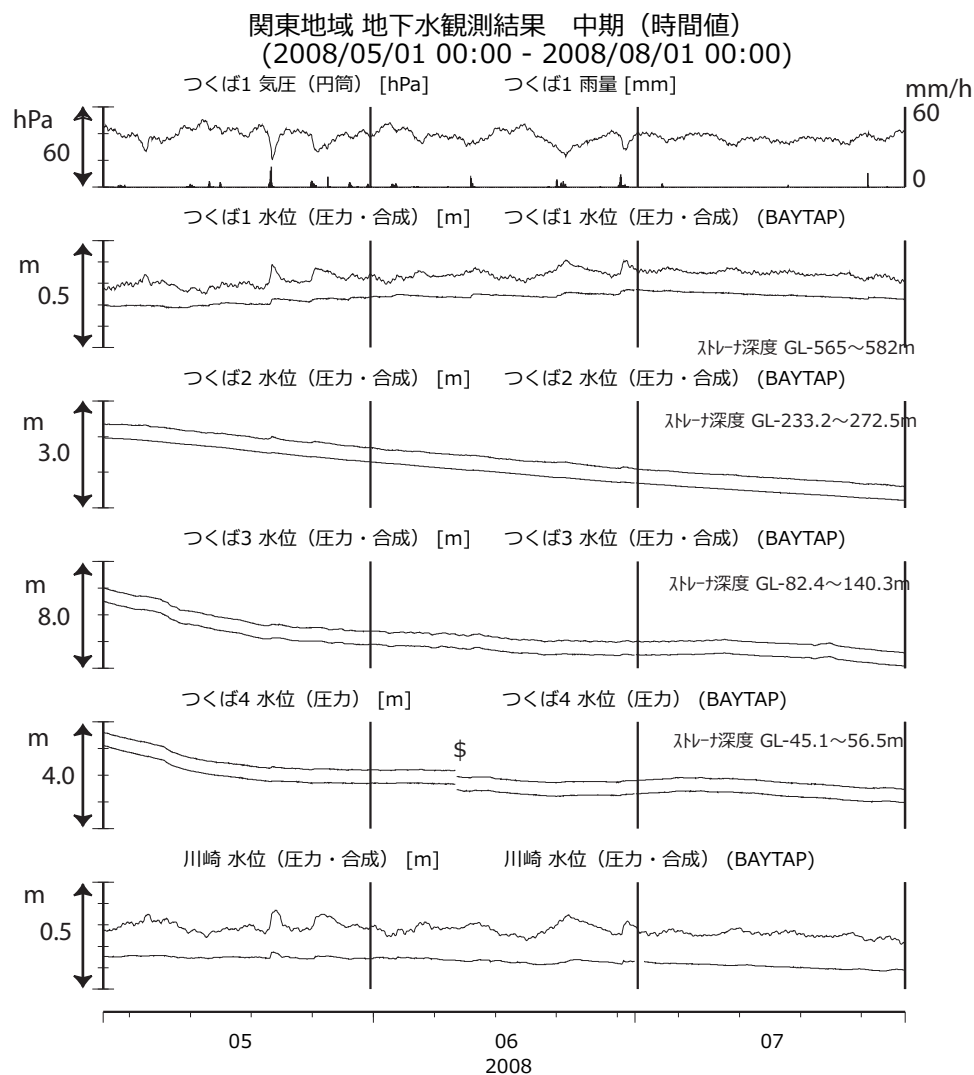
第 16 図 東海地域西部(豊橋東)の歪等の観測結果(2008 年 8 月～2008 年 10 月)
Fig.16 Observed strain and others at the Toyohashi-higashi observation site from Aug. 2008 to Oct. 2008.



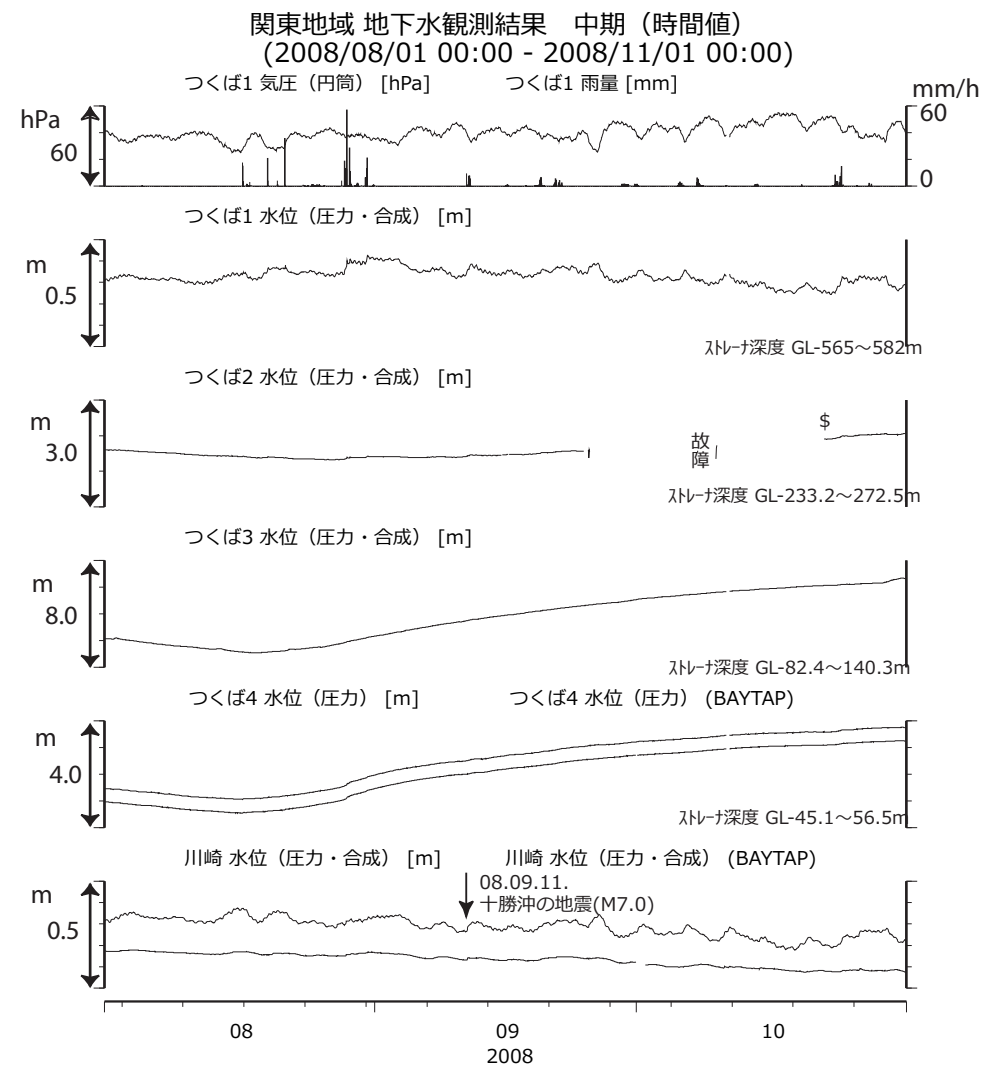
第17図 伊豆半島東部の地下水等の観測結果(2008年5月～2008年7月)
Fig.17 Observed groundwater levels and others in the eastern Izu peninsula district from May 2008 to July 2008.



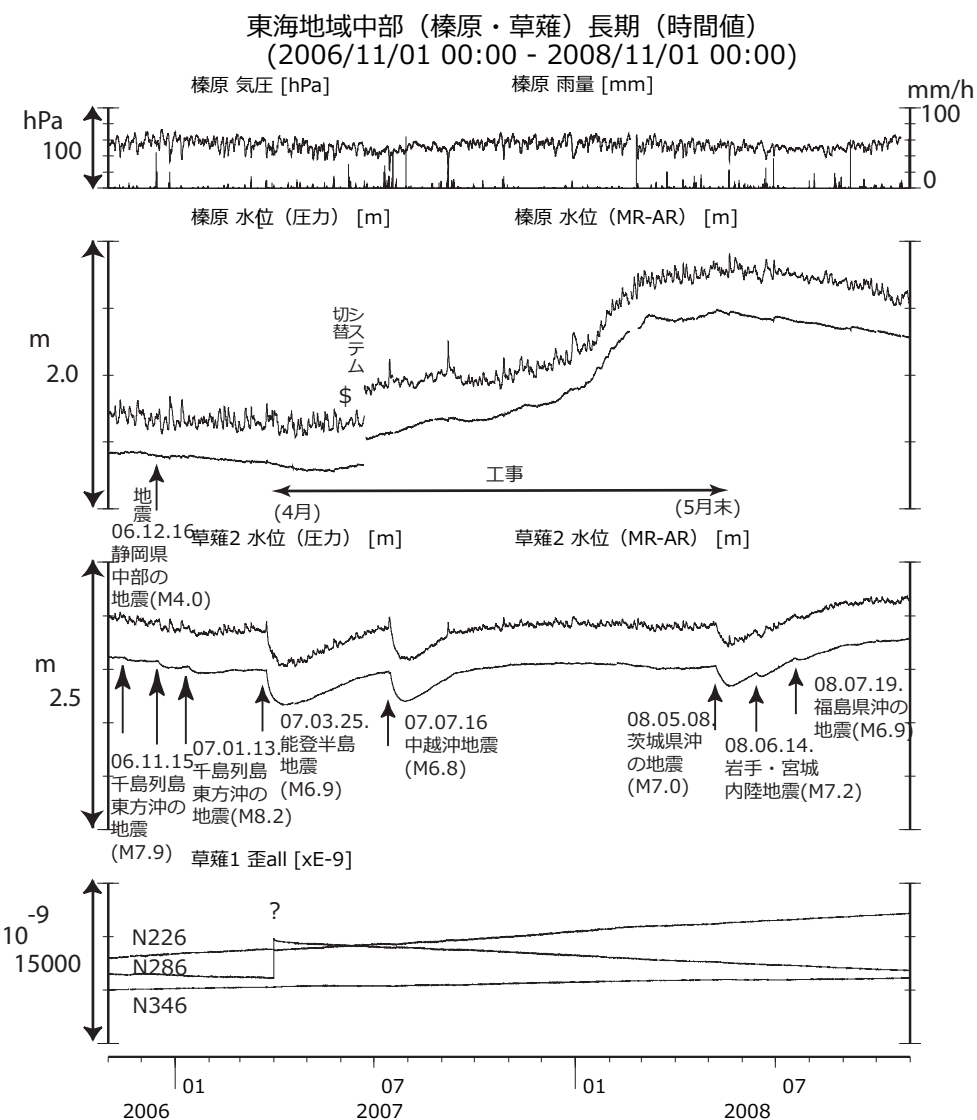
第18図 伊豆半島東部の地下水等の観測結果(2008年8月～2008年10月)
Fig.18 Observed groundwater levels and others in the eastern Izu peninsula district from Aug. 2008 to Oct. 2008.



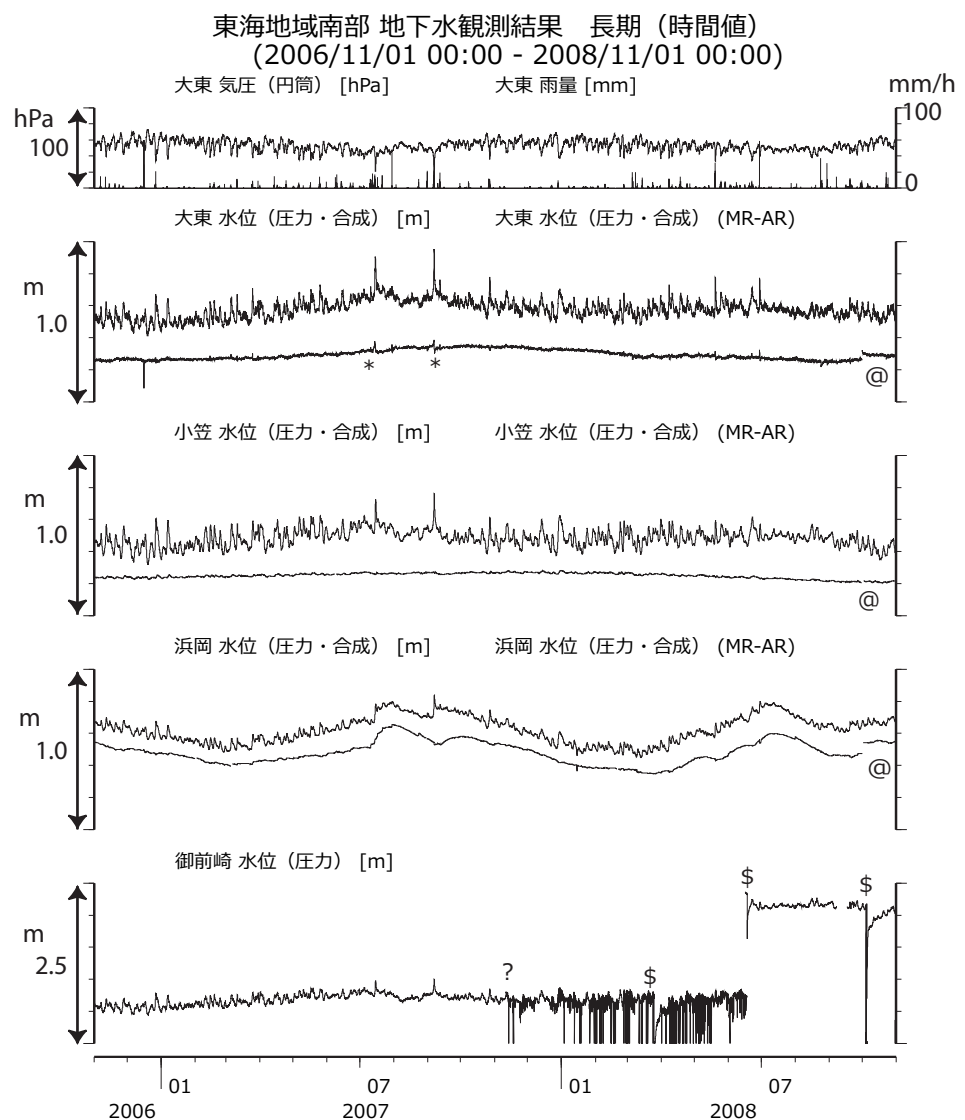
第19図 関東地域の地下水等の観測結果(2008年5月～2008年7月)
Fig.19 Observed groundwater levels and others in the Kanto district from May 2008 to July 2008.



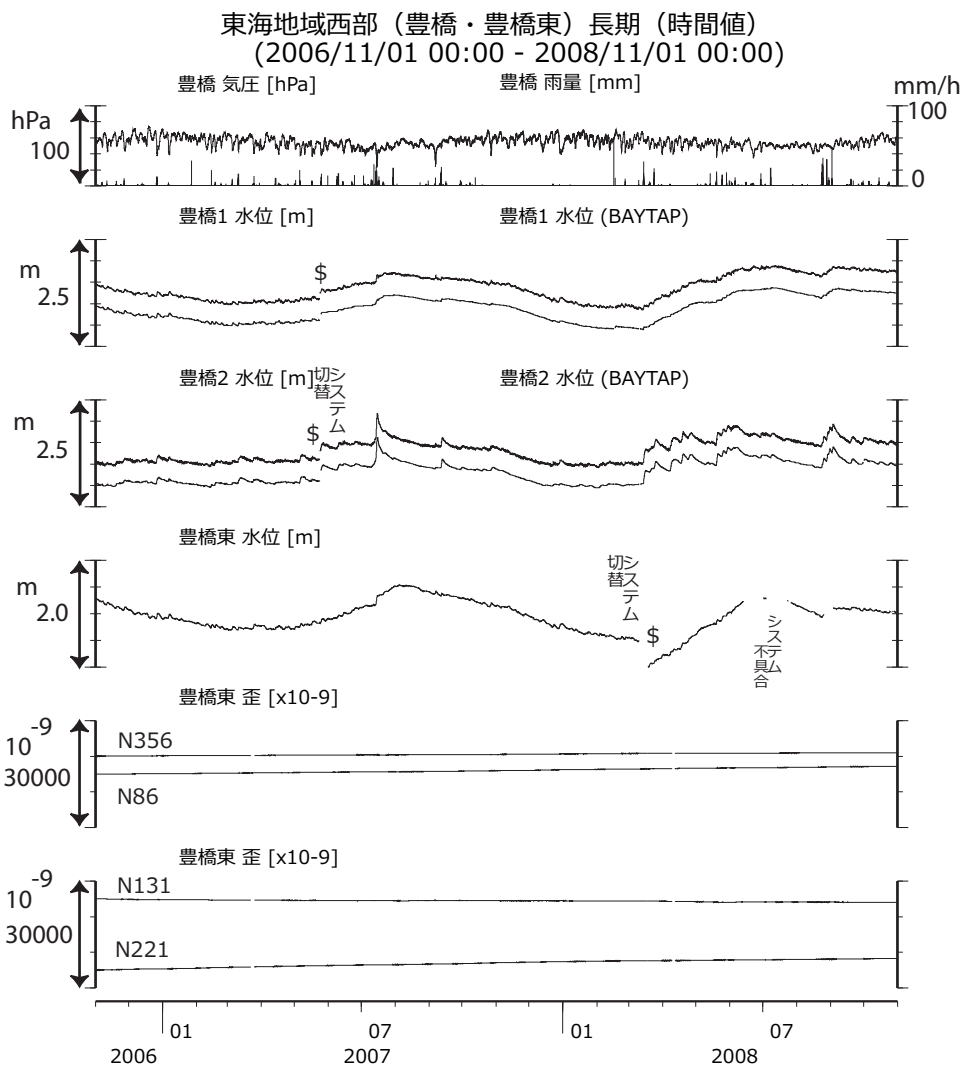
第20図 関東地域の地下水等の観測結果(2008年8月～2008年10月)
Fig.20 Observed groundwater levels and others in the Kanto district from Aug. 2008 to Oct. 2008.



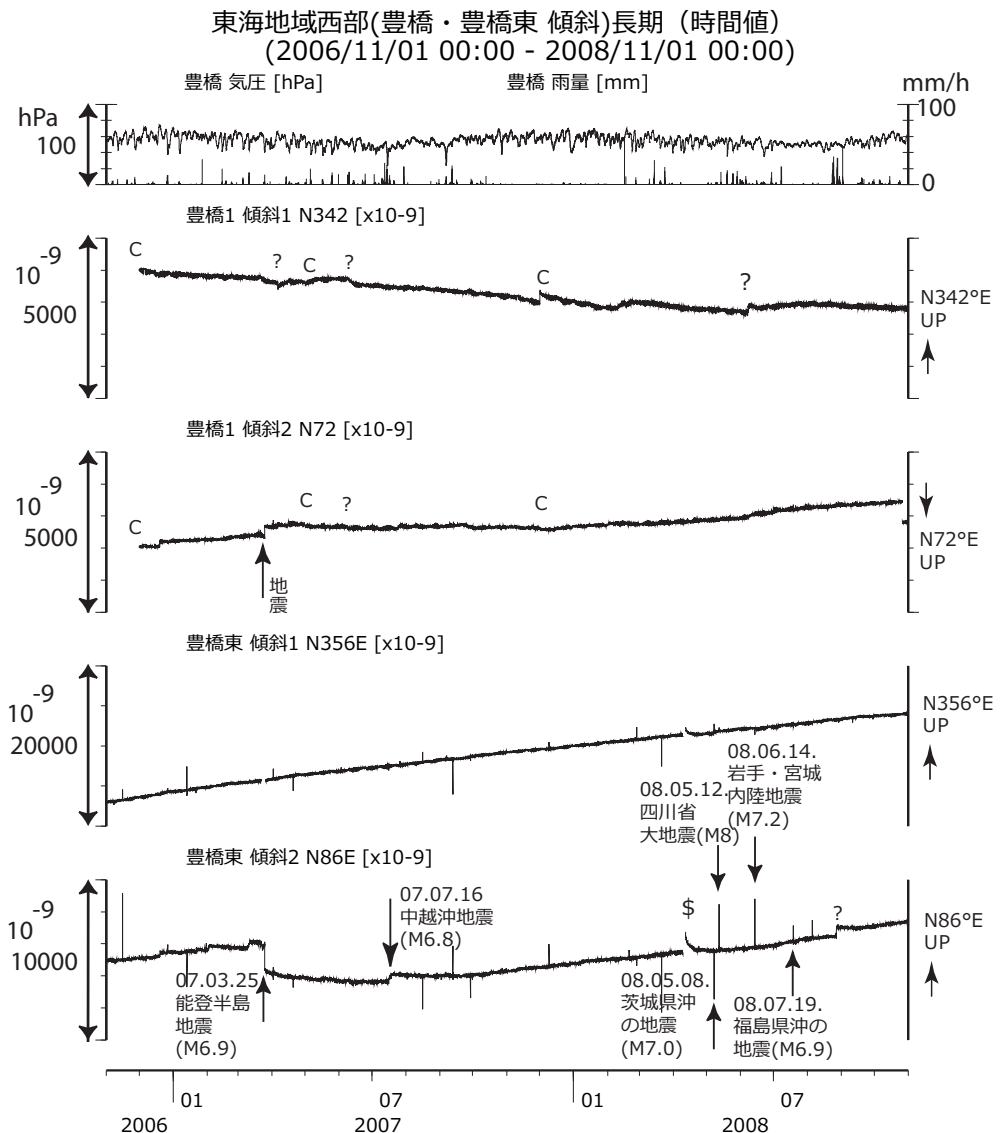
第 21 図 東海地域中部の地下水等の観測結果(2006 年 11 月～2008 年 10 月)
Fig.21 Observed groundwater levels and others in the central Tokai district from Nov. 2006 to Oct. 2008.



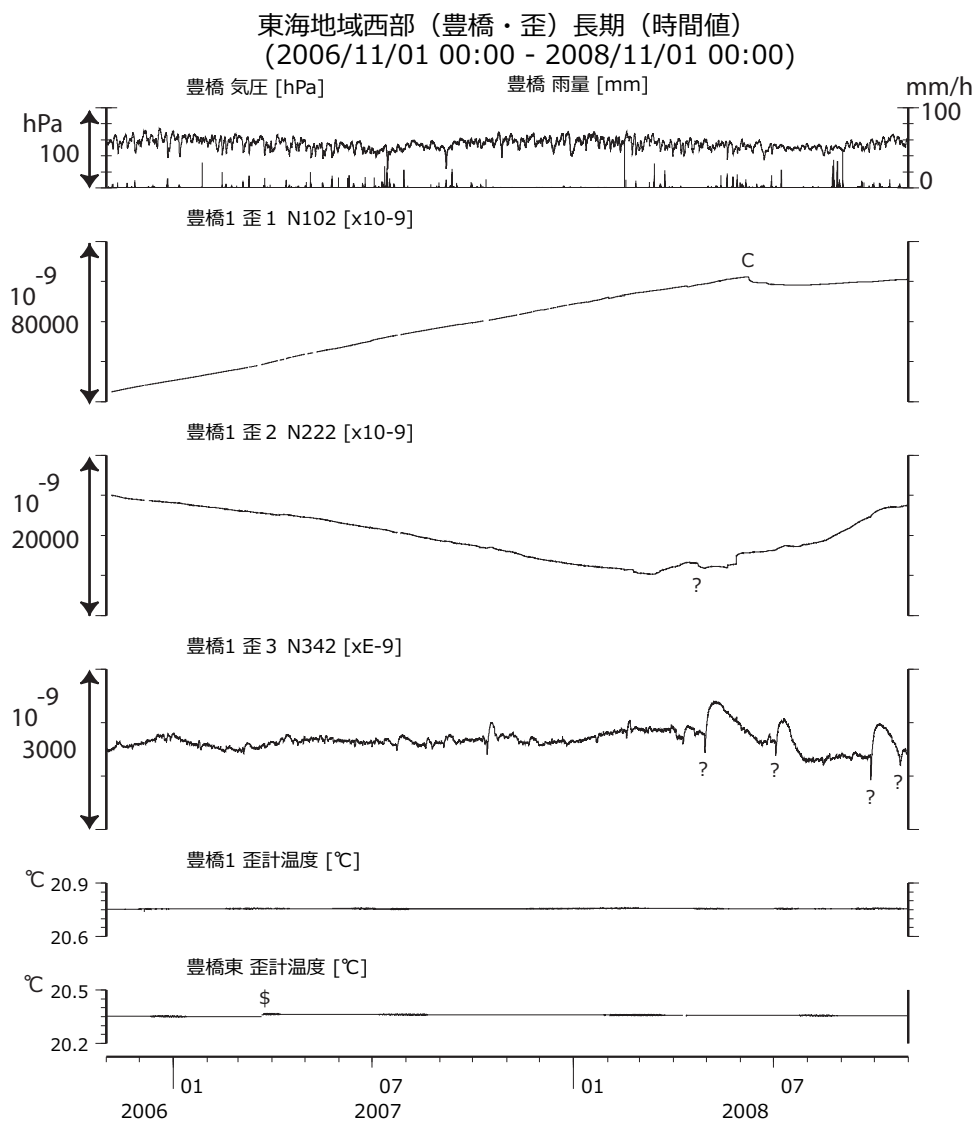
第 22 図 東海地域南部の地下水等の観測結果(2006 年 11 月～2008 年 10 月)
Fig.22 Observed groundwater levels and others in the southern Tokai district from Nov. 2006 to Oct. 2008.



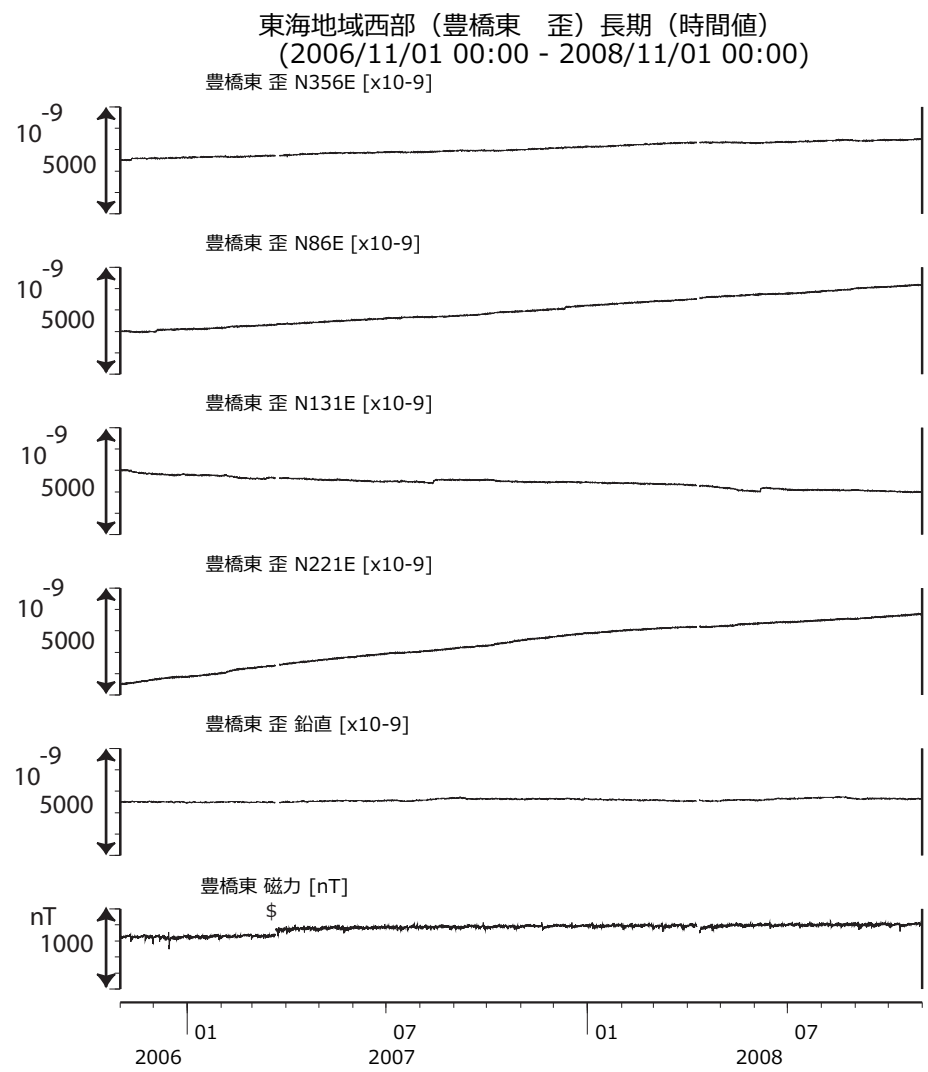
第23図 東海地域西部(豊橋・豊橋東)の地下水等の観測結果(2006年11月～2008年10月)
Fig.23 Observed groundwater levels and others at the Toyohashi and Toyohashi-higashi observation sites in the western Tokai district from Nov. 2006 to Oct. 2008.



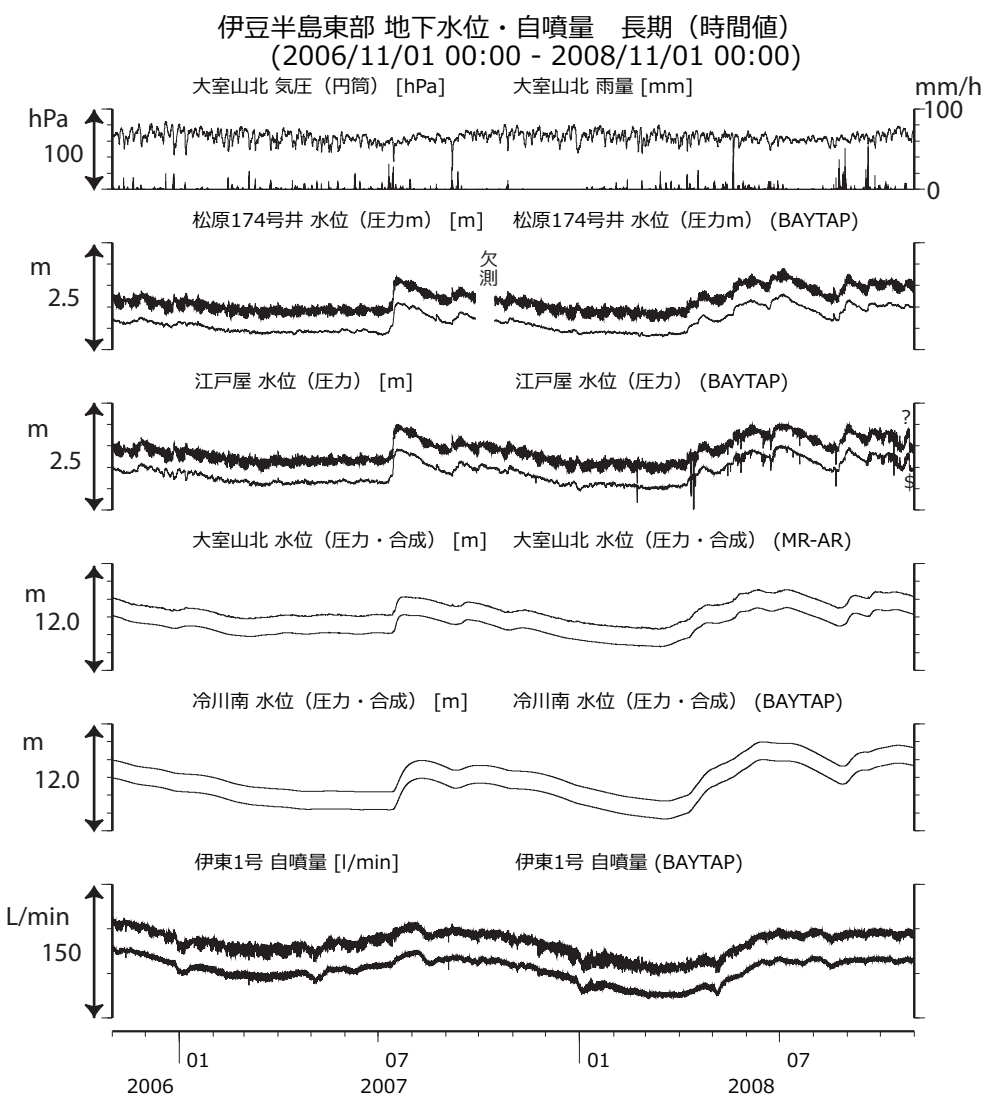
第24図 東海地域西部(豊橋・豊橋東)の傾斜の観測結果(2006年11月～2008年10月)
Fig.24 Observed tilts at the Toyohashi and Toyohashi-higashi observation sites from Nov. 2006 to Oct. 2008.



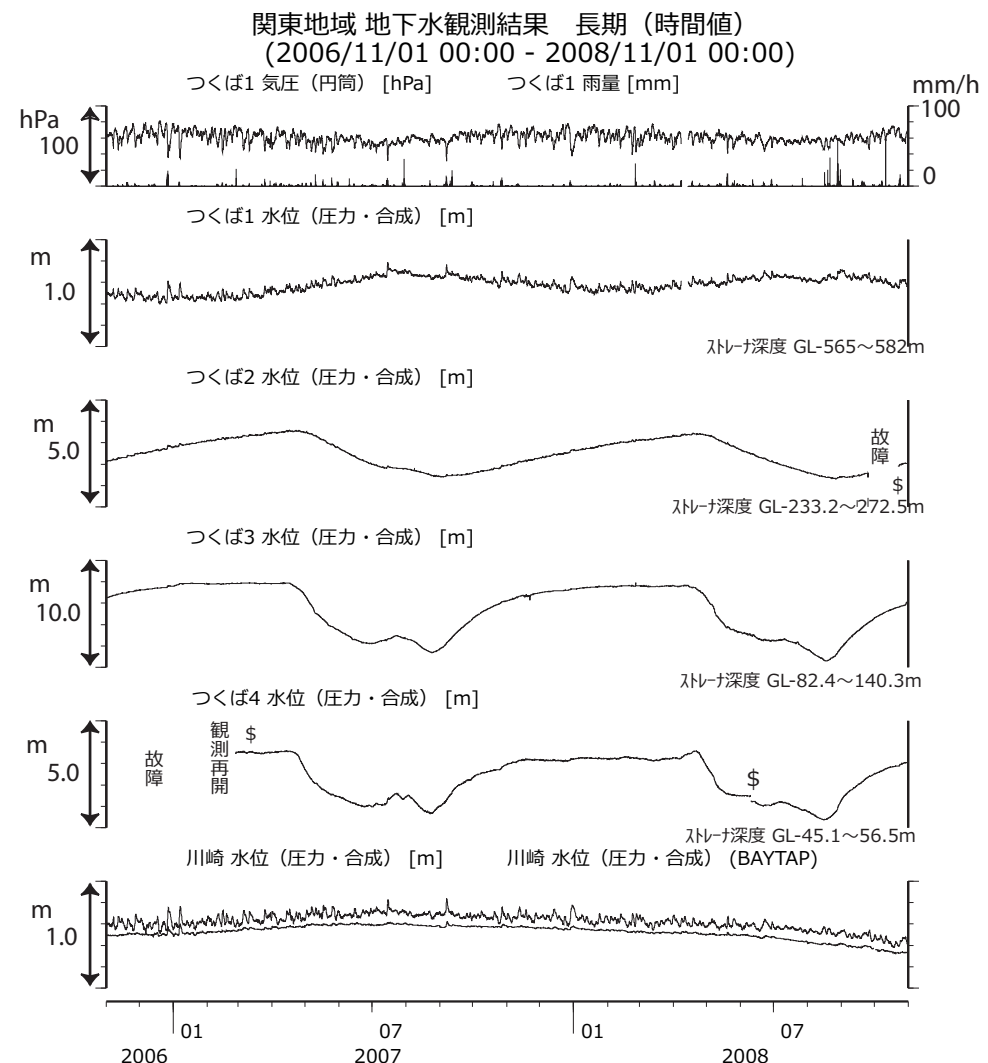
第 25 図 東海地域西部(豊橋)の歪等の観測結果(2006 年 11 月～2008 年 10 月)
Fig.25 Observed strain and others at the Toyohashi observation site from Nov. 2006 to Oct. 2008.



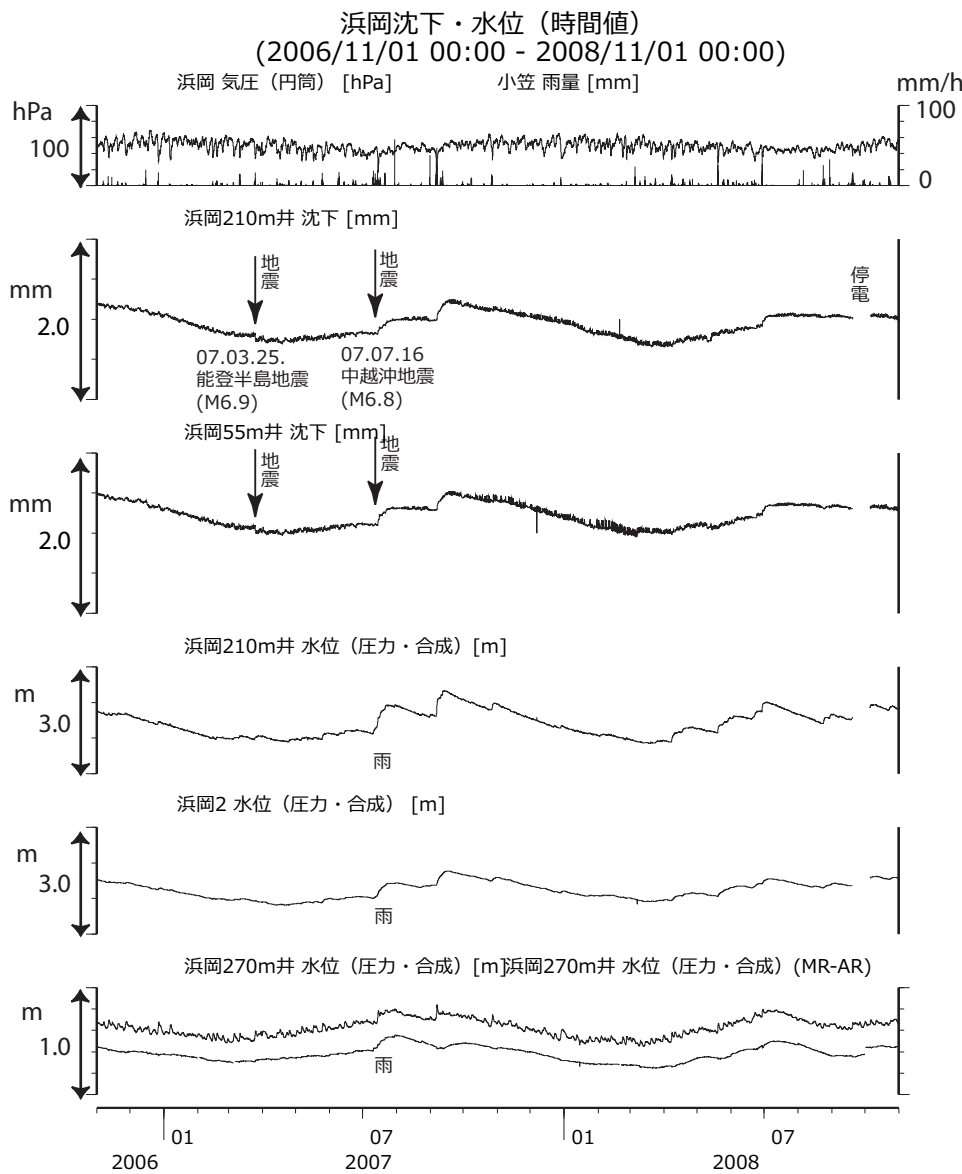
第 26 図 東海地域西部(豊橋東)の歪等の観測結果(2006 年 11 月～2008 年 10 月)
Fig.26 Observed strain and others at the Toyohashi-higashi observation site from Nov. 2006 to Oct. 2008.



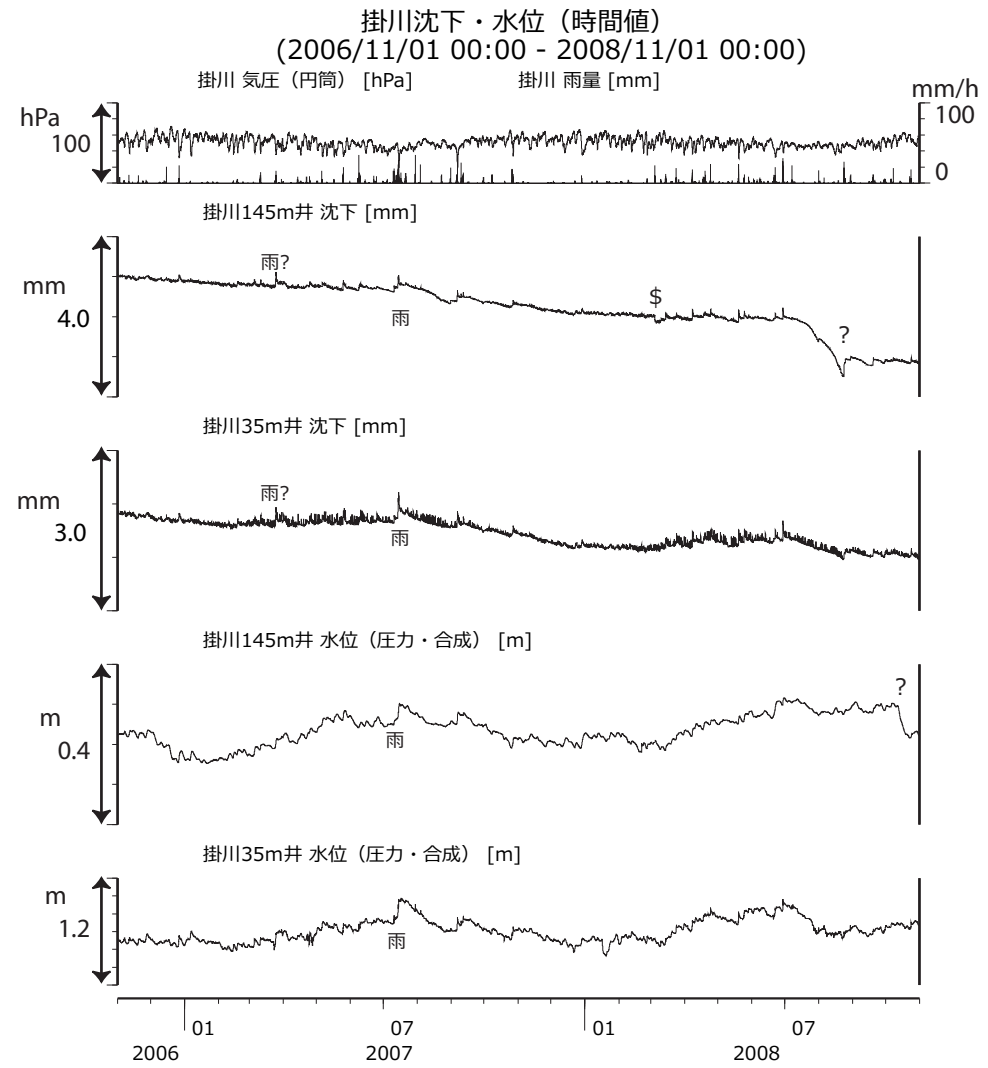
第 27 図 伊豆半島東部の地下水等の観測結果(2006年 11月～2008年 10月)
Fig.27 Observed groundwater levels and others in the eastern Izu peninsula from Nov. 2006 to Oct. 2008.



第 28 図 関東地域の地下水等の観測結果(2006年 11月～2008年 10月)
Fig.28 Observed groundwater levels and others in the Kanto district from Nov. 2006 to Oct. 2008.



第29図 浜岡における沈下等の観測結果(2006年11月～2008年10月)
Fig.29 Observed subsidence data and others at the Hamaoka observation well from Nov. 2006 to Oct. 2008.



第30図 掛川における沈下等の観測結果(2006年11月～2008年10月)
Fig.30 Observed subsidence data and others at the Kakegawa observation well from Nov. 2006 to Oct. 2008.